

ارائه روشی کارا جهت تصحیح جوی و بررسی تأثیر آن در برآورد آلبیدو سطحی با استفاده از تصاویر سنجنده OLI

مرتضی رحیمپور^{۱*}، نعمت‌الله کریمی^۲، مائدۀ بهی‌فر^۳، سارا ششنگشت^۱

- ۱- دستیار پژوهشی، موسسه تحقیقات منابع آب وزارت نیرو، تهران
- ۲- استادیار، موسسه تحقیقات منابع آب وزارت نیرو، تهران
- ۳- دانشجوی دکتری سنجش از دور، دانشگاه شهید بهشتی، تهران

تاریخ دریافت مقاله: ۱۳۹۶/۰۶/۰۷ | تاریخ پذیرش مقاله: ۱۳۹۷/۰۲/۳۱

چکیده

تصحیح‌های جوی، یکی از مهم‌ترین مراحل پیش‌پردازش تصاویر ماهواره‌ای محسوب می‌شوند که انجام آن‌ها از سوی کارشناسان این حوزه همواره به دلیل فقدان اطلاعات مکانی دقیق و پیچیدگی‌های محاسباتی، نادیده گرفته شده است. در این پژوهش، ابتدا یکی از جدیدترین و دقیق‌ترین روش‌های تصحیح جوی، برای نخستین بار بروی تصاویر سنجنده OLI در یک منطقه گرم و خشک پیاده‌سازی شد. سپس نتیجه‌های حاصل از آن در دو مرحله و در کاربری‌های مختلف ارزیابی شد. روش استفاده شده دارای دو ویژگی اساسی شامل (الف) عدم نیاز به داده‌های اندازه‌گیری مکانی پیچیده و (ب) اجرای ساده است. در مرحله اول مقادیر بازتابندگی تصاویر سنجنده OLI تصحیح و با محصول تابع توسعه بازتابندگی دو جهتی (BRDF) سنجنده مادیس (MACD43A4) مقایسه گردید. نتایج، همبستگی بالا (بین ۰/۹۵ تا ۰/۹۷) و خطای قابل قبول (در حدود ۰/۵ درصد) روش تصحیح جوی مدنظر این تحقیق را نشان داد؛ به نحوی که با اعمال روش تصحیح جوی، میزان خطای در تمامی باندها حدوداً ۲۴/۶ درصد کاهش یافت. در مرحله دوم تأثیر تصحیح حاصل بر مقدار آلبیدو پهنه‌باند ارزیابی شد. برای این منظور، در ابتدا میزان آلبیدو پهنه‌باند تصحیح شده با محصول مادیس (MCD43A3) در شرایط مفروض آسمان سفید (WSA) و سیاه (BSA) مقایسه شدند که کمترین میانگین مربوطات خطای در این دو شرایط به ترتیب برابر با ۰/۰۴۹ و ۰/۰۶۶ بود. بیشترین تأثیر مقدار آلبیدو پهنه‌باند قبل و بعد از تصحیح جوی به ترتیب مربوط به اراضی با خاک روشمن، مناطق کوهستانی تیره و مناطق کشاورزی است. این میزان تغییرات در تمام کاربری‌ها کاهشی و حدوداً بین ۰/۰۱۸ تا ۰/۰۰۵ برآورد شد. با توجه به نتایج حاصل از پژوهش حاضر، اعمال تصحیح جوی جهت برآورد مقدار آلبیدو در تمام شرایط پیشنهاد می‌شود.

کلیدواژه‌ها: تصحیح جوی، آلبیدو سطحی، سنجنده OLI، محصولات سنجنده مادیس

*نویسنده مکاتبه کننده: حکیمیه، بلوار بهار، موسسه تحقیقات آب وزارت نیرو، پژوهشکده منابع آب.

تلفن: ۰۲۱۷۷۰۰۰۳۰۵

۱- مقدمه

پارامترهای ورودی و تا حد امکان باقابلیت پیاده‌سازی ساده مورد توجه قرار دارد. مدل‌های انتقال تابش^۵ (*RTMs*) به عنوان مدل‌های قابل قبول جهت تصحیح بازتابندگی در هر کدام از رویکردهای یاد شده مورد استفاده قرار می‌گیرد [۱۰]. در رویکردهای صرفاً تحقیقاتی که به دقت مناسب جهت برآورده بازتابندگی سطحی و آلبیدو نیاز است، از مدل مادترن^۶ بهره‌برده می‌شود [۱۱]. اما در پژوهش‌های کاربردی تر غالباً از مدل ۶S استفاده می‌شود [۱۲] که نتایج برخی از پژوهش‌ها حاکی از کارآمدتر بودن مدل ۶S نسبت به مدل مادترن است [۱۳]. اگرچه از مدل‌های *RTM* به منظور مقاصد مختلفی همانند برآورده اجزای بیلان انرژی استفاده می‌شود [۱۴ و ۱۵] اما به دو دلیل عده این مدل‌ها چندان مورد توجه محققین قرار نگرفته است. اول این‌که، جهت اجرای این روش‌ها لازم است جداول مشاهده‌ای^۷ جهت شبیه‌سازی شرایط استاندارد سطح زمین، به منظور محاسبه تصحیحات جوی، تهیه شود. برای تولید این جداول، محاسبات گستردۀ و پیچیده‌ای نیاز است که استفاده از این روش‌ها را محدود می‌سازد [۱۶]. همچنین این جداول مربوط به زمان خاص بوده و در صورت تغییر پدیده‌های سطح زمین در زمان‌های مختلف نمی‌توانند شرایط استاندارد را به خوبی شبیه‌سازی نمایند. دومین دلیل این است که برای اجرا و پیاده‌سازی اینگونه مدل‌ها به متخصصین سنجش از دور نیاز است. این در حالی است که در سالیان اخیر با فraigir شدن علم سنجش از دور در علوم مختلف (همانند سیستم‌های اطلاعات جغرافیایی^۸، هیدرولوژی، مهندسی آب، محیط زیست و موارد مشابه با آن) امکان پیاده‌سازی اینگونه مدل‌ها برای کاربرانی با تخصص‌هایی به غیر از سنجش از دور تا حدودی سخت و مشکل است [۱۵]. لذا با توجه به مشکلات مذکور در به کارگیری

به دلیل وجود جوّی بین سنجنده و پدیده‌های گوناگون سطح زمین، بازتابندگی واقعی ثبت شده توسط ماهواره‌ها، تحت تأثیر دو عامل میرایی^۹ و پراکندگی^{۱۰} قرار می‌گیرند و همین موضوع، منجر به بروز عدم قطعیت‌هایی در برآورده مقدار بازتابندگی سطحی می‌شود [۱ و ۲]. اثرات جوی یاد شده در مناطق مختلف متفاوت است و بالطبع در مناطق مرطوب و غبارآلود این اثرها شدیدتر و در نواحی گرم و خشک کمتر است [۳ و ۴]. بنابراین قبل از استفاده از تصاویر، این اثرات باید حذف شود تا بتوان ابتدا میزان بازتابندگی سطحی و سپس متغیرهای دیگر همانند آلبیدو^{۱۱} و اجزای معادله بیلان انرژی را محاسبه نمود [۱۵]. آلبیدو^{۱۲} سطحی یکی از مهم‌ترین و پرکاربردترین پارامترهای سنجش از دور در زمینه‌های مختلف است [۶ و ۷]. از این پارامتر جهت برآورده بسیاری از متغیرهای محیطی نظیر تابش خالص، تبخیر تعرق، بیلان انرژی و مدل‌سازی‌های اقلیمی استفاده می‌شود [۸ و ۹]. بدیهی است با افزایش صحت برآورده آلبیدو، می‌توان صحت تمام این مدل‌سازی‌ها و دقت نتایج را افزایش داد.

در این راستا، دو رویکرد متفاوت برای اعمال تصحیحات جویی بر روی تصاویر ماهواره‌ای وجود دارد. در رویکرد اول، لازم است شرایط جوی در هنگام گذر ماهواره مدل‌سازی شود. این مدل‌ها به اطلاعات دقیق اندازه‌گیری شده از وضعیت جو در لحظه عبور ماهواره با قدرت تفکیک مکانی بالا نیاز دارند که غالباً به دلیل عدم وجود اطلاعات لازم و بهنگام، امکان پیاده‌سازی این مدل‌ها به صورت مستمر و عملیاتی میسر نیست. در رویکرد دوم، افزون بر اینکه میزان دقت و صحت تصحیحات جوی مدنظر است؛ الگوریتم‌هایی با حداقل

⁶ MODTRAN⁷ Look-up tables⁸ Geographic Information Systems (GIS)¹ Observed² Scattering³ Albedo⁴ منظور آلبیدو پهن باند است که کل طیف موج کوتاه را دربرمی‌گیرد.⁵ Radiation Transfer Models (RTMs)

بر مادیس^۸ ارزیابی شد [۲۸ و ۲۹]. در این پژوهش‌ها از الگوریتم *6SV* و داده‌های طیف‌سنجی^۹ دستگاه آئرونوت^{۱۰} استفاده گردید. نتایج نشان داد، الگوریتم *6SV* بجز باند سبز در تمامی باندهای لندست (*ETM+*) عملکرد بهتری از الگوریتم *LEDAPS* داشته است. در پژوهش‌های دیگر، روش‌های با اجرای ساده‌تر مانند فلش^{۱۱} و کواک^{۱۲} مورد ارزیابی قرار گرفتند [۳۰ و ۳۱]. نتایج حاکی از آن بود که روش فلش به دلیل سهولت اجرا و همچنین نتایج قابل قبول در تصحیح اثرات اتمسفر دارای ارجحیت بیشتری است. با توجه به اینکه روش *S6* و روش‌های مشابه دیگر نیاز به اطلاعات مشاهداتی زیادی دارند لذا در تمام مکان‌ها قابلیت اجرا ندارد. اما باید به این نکته نیز اشاره نمود که هرچه قابلیت اجرای روش‌های تصحیح اتمسفری ساده‌تر و اطلاعات ورودی کمتری نیاز داشته باشد، مجموعه کمتری از اثرات را حذف نموده و در نتیجه نتایج ضعیفتر خواهد بود. در ایران نیز تحقیقات بسیار اندکی در راستای معرفی و اجرای روش‌های اتمسفری انجام گرفته است که همگی بر افزایش میزان دقت برآوردها پس از اجرای مدل‌های تصحیح جوی هرچند ساده اذعان داشتنند. به طور مثال سپهری در سال ۲۰۰۳، از مدل تصحیح جوی لاوریو برای تصحیح تصویر ماهواره‌ای لندست ۵ در منطقه کوهستانی استفاده نموده است. نتایج این تحقیق نشان داد که روش مذکور قادر است به طور قابل ملاحظه‌ای تیرگی تصویر را برطرف نموده و دقت طبقه بندی پوشش گیاهی را افزایش می‌دهد. در تحقیقی دیگر بهرامیگی و همکاران (۲۰۱۵) دو روش ساده کواک و روش میانگین نسبی

مدل‌های *RTM*، مدل‌های ساده‌تر تصحیحات جوی توسعه داده شدند [۱۶، ۱۷ و ۱۸]. از جمله این روش‌ها می‌توان به روش تفریق تاریک *DOS*^۱ و نسخه‌های بهبود یافته آن اشاره کرد [۱۹ و ۲۰ و ۲۱] که به سادگی اثر میرایی تابش^۲، که ناشی از کدورت^۳ اتمسفر هستند؛ از تصاویر ماهواره‌ای حذف می‌نمایند. این تکنیک‌ها به دلیل سهولت در اجرا به طور گسترده در بسیاری از پروژه‌های کاربردی و عملیاتی مورد استفاده قرار می‌گیرند. اما معایبی هم دارند که استفاده از آن را محدود می‌سازند. برای مثال نمی‌توان از این مدل‌ها برای تصحیح جوی سطوح با بازنگشتنی‌های ۰۰۱۵ و بالاتر، استفاده نمود [۲۲]. اگرچه این مشکل در روش *DOS* با استفاده از پیکسل‌های تاریک و روشن به عنوان واسنجی و با بهره‌گیری از روش خط تجربی^۴ مرتفع می‌شود [۲۳ و ۲۴]، اما انتخاب این نقاط از اهداف زمینی معین، جهت استفاده برای مناطق با وسعت زیاد و همچنین تصاویر ثبت شده در تاریخ‌های گذشته، با محدودیت مواجه است [۱۵]. در این راستا تعدادی از روش‌های تصحیح اتمسفر توسعه یافته‌اند اما الگوریتم‌های انتقال تابش^۵ و داده‌های مشخصه جو، دارای بیشترین پتانسیل جهت استفاده در برنامه‌های کاربردی در مقیاس بزرگ و اجرای خودکار هستند. به عنوان مثال، از سال ۲۰۰۰ باندهای سنجنده مادیس با استفاده از کد انتقال تابشی *6SV* برای تصحیح مقادیر بازنگشتنی روزانه و تولید محصولات روزانه ۸ روزه استفاده می‌شود [۲۵ و ۲۶]. اخیراً، دقت دو الگوریتم تصحیح اتمسفری شامل الگوریتم *LEDAPS*^۷ و یک الگوریتم تصحیح اتمسفری ماهواره لندست مبتنی

algorithm

^۹ Sun-Photometer

^{۱۰} AERONET

^{۱۱} Fast Line-of-sight Atmospheric Analysis of Hypercubes (FLAASH)

^{۱۲} Quick Atmospheric Correction (QUAC)

^۱ Dark-Object Subtraction (*DOS*)

^۲ Radiative Attenuation

^۳ Haze

^۴ Empirical Line Method

^۵ Radiative Transfer Algorithms

^۶ Atmospheric Characterization Data

^۷ The Landsat Ecosystem Disturbance Adaptive Processing System (*LEDAPS*)

^۸ A MODIS-based Landsat atmospheric correction

۱-۲ منطقه مطالعاتی

حوضه آبریز زاینده‌رود با وسعت تقریبی ۲۷۰۰۰ کیلومتر مربع در برگیرنده قسمت عمده‌ای از حوضه آبریز بسته تالاب گاوخونی به مساحت ۴۱۵۰۰ کیلومترمربع است که خود جزئی از حوضه آبریز درجه یک فلات مرکزی ایران محسوب می‌گردد. این حوضه در محدوده جغرافیایی^۱ ۵۰°۲۰' تا' ۵۳°۲۰' طول شرقی و ۳۱°۱۵' تا' ۳۳°۴۵' عرض شمالی و با ارتفاع متوسط ۱۹۹۰ متر از سطح دریا قرار گرفته و دارای آب و هوایی متنوع، از خشک بیابانی (محدوده استان اصفهان) تا مرطوب کوهستانی (محدوده استان شهرکرد) می‌باشد. در تحقیق حاضر بخشی از این حوضه آبریز (حدود ۷۰ درصد) مطابق شکل (۱) به عنوان منطقه مورد مطالعه (همپوشانی با موزاییک گذر ۱۶۴ و عبور ۳۷) جهت پیاده‌سازی و ارزیابی روش تصحیح جوی در نظر گرفته شد. این بخش از حوضه در برگیرنده اراضی با کاربری‌های مختلف است که به سبب تنوع آلبیدو، به عنوان منطقه مورد مطالعه جهت پیاده‌سازی روش تصحیح جوی مناسب خواهد بود؛ زیرا می‌توان اثر آن را بر روی انواع کاربری‌های اراضی مورد ارزیابی قرار داد.

۲-۲ داده‌های مورد استفاده

جهت پیاده‌سازی این روش تصحیح جویی نیاز است تا پارامترهای دقیق هواشناسی همانند پارامتر فشار بخار هوا اندازه‌گیری شود. با توجه به نبود ایستگاه در نزدیک مناطق کشاورزی و کاربری با تنوع بالا لذا نیاز بود، ایستگاه هواشناسی مجھزی در منطقه‌ای با کاربری‌های اراضی متنوع علاوه بر ایستگاه‌های هواشناسی احداث شود. در این راستا، ایستگاه مذکور در موقعیت جغرافیایی با عرض ۴۱°۰۵' ۳۲° شمالي و طول ۵۱°۴۷' ۰۰'' شرقی نصب شد که در شکل(۱) موقعیت ایستگاه با رنگ نارنجی در منطقه قابل مشاهده است.

^۱ در اتمسفر صاف (یا استاندارد) دید افقی بیشتر از ۱۲ کیلومتر است.

بازتاب‌ها^۲ روی تصویر هایپریون پهنه آرژیلیک^۳ در منطقه آتشفسان مساحیم^۴ پرداخته شده است که نتایج حاکی از تصحیح جوی IARR پیش پردازشی مناسب و کم‌هزینه برای بازیافت اطلاعات طیفی داده‌های ابرطیفی بوده است.

هدف اصلی از تحقیق حاضر، ارائه، پیاده‌سازی و ارزیابی روشی کاربردی، جهت تصحیح اثرات جوی می‌باشد که توسط تاسومی و همکاران (۲۰۰۸) توسعه داده شده است. این روش برای نخستین بار در تحقیق حاضر، روی تصاویر سنجنده OLI (به عنوان یکی از پرکاربردترین سنجنده‌های مطالعات سنجش از دوری [۳۴]) جهت برآورده بازتابندگی سطحی و همچنین برآورده آلبیدو سطحی، در مناطق گرم و خشک استفاده شده است. این روش نسبت به بسیاری از روش‌های مرسوم دیگر به اطلاعات کمتری نیاز دارد و همچنین اجرای آن نیز به متخصصین سنجش از دور وابسته نیست. لازم به ذکر است منظور از حذف اثرات جوی در تحقیق حاضر، حذف اثرات مربوط به موانعی همانند ابرها، طوفان‌های گردوغبار و آلاینده‌های غلیظ صنعتی نیست [۳۵ و ۳۶]، بلکه منظور حذف آن بخش از اثراتی است که در اثر وجود رطوبت هوا، ریزگردها و یا موارد مشابه با آن در شرایط جوی صاف^۴، منجر به کدورت تصاویر ماهواره‌ای می‌گردد [۳۷]. در این راستا، بخشی از حوضه آبریز زاینده‌رود که دارای تنوع مناسبی از کاربری‌های مختلف است به عنوان منطقه مورد مطالعه انتخاب شد.

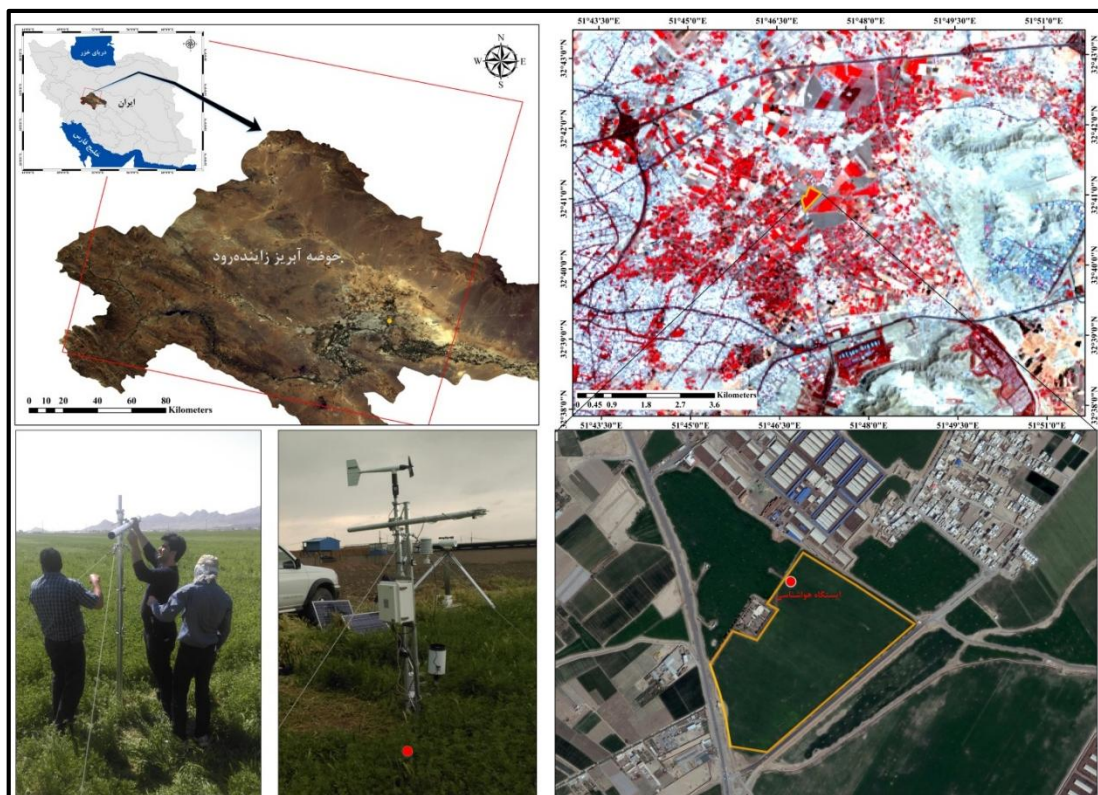
۲- مواد و روش‌ها

در این بخش ابتدا منطقه مطالعاتی معرفی می‌شود و سپس داده‌های هواشناسی و سنجش از دوری استفاده شده در تحقیق حاضر، شرح داده می‌شوند. در ادامه مراحل برآورده آلبیدو و چگونگی اعمال تصحیح‌های انجام شده به صورت مرحله‌ای و با توصیف روابط کاربردی ارائه می‌شود.

¹ Internal Average Relative Reflectance

² Argillic Alteration Zone

³ Masahim Volcanic Crater



شکل ۱: محدوده جغرافیایی منطقه مورد مطالعه مربوط به حوضه آبریز زاینده‌رود

دقیقت مناسب توسط ناسا ارائه شده و می‌توان از این داده‌ها به منظور ارزیابی صحت روش ارائه شده، استفاده کرد [۳۸ و ۳۹]. این محصولات در چندین سطح ارائه شده‌اند که در تحقیق حاضر از محصولات *MCD43A3* (آلبیدو) و *MCD43A4* (بازتابندگی تصحیح شده) به منظور اعتبارسنجی نتایج، استفاده شد (جدول ۱). در این راستا نسخه ششم محصولات *BRDF*^۲ روزه ۱۶ مادیس با مختصات *h22V05* مربوط به محدوده ایران تهیه شد. این محصولات با نام‌های *MCD43A3* و *MCD43A4* به ترتیب شامل مقدار آلبیدو و بازتابندگی تصحیح شده هستند که با مقیاس ۵۰۰ متر، در دسترس عموم می‌باشند. علاوه بر این میزان بازتابندگی تصحیح شده تصاویر سنجنده *OLI* و با بازتابندگی محصول

همچنین از اطلاعات ایستگاه‌های سینوپتیک اصفهان، شرق اصفهان، کاشان و نائین جهت برآورد آلبیدو در سطح حوضه آبریز استفاده شده است؛ اما در تحقیق حاضر، صرفا نتایج ایستگاه احداث شده (شکل ۱) در منطقه مورد نظر جهت ارزیابی نتایج، اسفاده شد؛ زیرا فقط در این ایستگاه شرایطی همچون تنوع کاربری بالا و همچنین استانداردهای ذکر شده در مراجع جهت ارزیابی نتایج، رعایت شده بود.

همان‌طور که بیان شد هدف اصلی این پژوهش به دست آوردن آلبیدو از بازتابندگی‌های تصحیح شده در سنجنده *OLI* با قدرت تفکیک ۳۰ متر می‌باشد. این در حالی است که محصولات بازتابش دو جهتی (*BRDF*) سنجنده مادیس با قدرت مکانی پایین‌تر (۵۰۰ متر) با

استفاده می‌گردد.

¹ Bidirectional Reflectance Distribution Function

² از توابع توزیع دو راستایی جهت میزان بازتابندگی در راستایی معین

ارزیابی می‌شود. تعداد این نمونه‌ها به تفکیک هر کاربری، در جدول (۲) قابل مشاهده می‌باشد.

MCD43A4 در نقاط نمونه برداری که کاربری به صورت دقیق از طریق بازدید میدانی مشخص شده است؛

جدول ۱: مشخصات تصاویر استفاده شده در تحقیق حاضر

Senndeh Madiis		Senndeh Madiis			ساعت محلی	تاریخ	شماره روز	شماره ژولیوسی
MCD43A4	MCD43A3	گذر	عبور					
✓	✓	۳۷	۱۶۴	۱۰:۳۸	۱۳۹۵/۰۳/۰۳	اردیبهشت ۱۳۹۵	۱۴۰	۱
✓	✓	۳۷	۱۶۴	۱۰:۳۸	۱۳۹۵/۱۵/۱۵	خرداد ۱۳۹۵	۱۵۶	۲
✓	✓	۳۷	۱۶۴	۱۰:۳۸	۱۳۹۵/۳۰/۰۳	خرداد ۱۳۹۵	۱۷۲	۳
✓	✓	۳۷	۱۶۴	۱۰:۳۸	۱۳۹۵/۰۱/۰۱	مرداد ۱۳۹۵	۲۰۴	۴
✓	✓	۳۷	۱۶۴	۱۰:۳۸	۱۳۹۵/۱۷/۱۷	مرداد ۱۳۹۵	۲۲۰	۵
✓	✓	۳۷	۱۶۴	۱۰:۳۹	۱۳۹۵/۰۲/۰۲	شهریور ۱۳۹۵	۲۳۶	۶

جدول ۲: تعداد نمونه‌های مشاهداتی از کاربری‌های غالب حوضه آبریز زاینده رود

کاربری‌ها	کشت آبی و باغات	بیابانی با خاک روشن	خاک‌های تیره با درصد مواد آلی بالا	مراتع	آب
تعداد محدوده‌های مشاهداتی	۶۶	۴۹	۴۶	۳۸	۵۱

$(TOA)^1$ محاسبه می‌گردد) و a_a نیز نشان‌دهنده آلبیدوی ناشی از مسیر عبور امواج الکترومغناطیسی است. با توجه به اینکه a_a برای کل محدوده طیف انعکاسی الکترومغناطیسی مقدار ناچیزی است، معمولاً جهت ساده‌سازی برابر با عدد ثابت بین $0.025 \text{ تا } 0.04$ (معمولًا 0.03) در نظر گرفته می‌شود [۴۳]. τ_{sw} نیز شفافیت جوی است که برابر با عبور دو طرفه امواج الکترومغناطیسی از جو است که می‌توان با ساده‌سازی از معادله تجربی ارائه شده توسط *FAO-56* با استفاده از مدل ارتفاعی رقومی (Z) از رابطه (۲) محاسبه می‌شود.

$$\tau_{sw} = 0.75 + Z \times 2 \times 10^{-5} \quad \text{رابطه (۲)}$$

۳-۲-۲- انجام محاسبات آلبیدو بدون انجام تصحیحات جوی

با توجه به محدودیت‌های فیزیکی و فنی برای اجرای تصحیحات جوی، معمولاً در تعداد محدودی از پروژه‌های عملیاتی از تصحیحات جوی برآورد آلبیدو استفاده شده است [۴۰]. بنابراین در قالب تحقیقات انجام شده، مقدار آلبیدو سطح زمین از رابطه (۱) محاسبه می‌شود [۴۱، ۴۲، ۴۳، ۴۴].

$$a_s = \frac{a_t - a_a}{\tau_{sw}^2} \quad \text{رابطه (۱)}$$

در این رابطه، a_s نشان‌دهنده آلبیدوی سطحی، a_t نشان‌دهنده آلبیدوی ثبت شده توسط سنجدنده در خارج از جو (که خود از مقادیر بازتابندگی بالای جو

¹ Top Of Atmosphere

مادیس) برآورد کرد. به طور کلی مراحل اجرا و صحتسنجی این روش در شکل (۲) نشان داده شده است.

۱-۴-۲- محاسبه بازتابندگی بالای جوّ

محاسبه بازتابندگی بالای جوّ اولین مرحله از فرآیند تصحیحات جوّی است. میزان بازتابندگی ثبت شده توسط سنجنده در بالای جوّ ($\rho_{t,b}$) از رابطه^(۳) محاسبه میشود.

$$\rho_{t,b} = \frac{\pi \cdot L_{t,b} \cdot d^2}{ESUN_b \cdot \cos \theta_{rel}} \quad \text{رابطه (۳)}$$

در رابطه (۳) $L_{t,b}$ مقدار انرژی بازتابیده از سطح زمین ثبت شده توسط ماهواره (وات بر مترمربع استردادیان. میکرومتر). θ_{rel} زاویه زنیتی خورشید (برحسب رادیان)، $ESUN_b$ میانگین تابش خارج از جوّ خورشید^۳ (وات بر مترمربع . میکرومتر) برای هر باند است (جدول^(۳)). همچنین π عدد ثابت $\frac{3}{14159}$ و d ، فاصله زمین تا خورشید در واحد نجومی است که با توجه به شماره روز ژولیوسی^۴ (DOY) در سال از رابطه^(۴) محاسبه میشود.

$$d^2 = \frac{1}{1+0033 \cdot \cos(DOY \cdot \frac{2\pi}{365})} \quad \text{رابطه (۴)}$$

پژوهش‌های انجام شده نشان می‌دهد که استفاده از رابطه (۱) ممکن است در برآورد جز تابش خالص در محاسبات بیلان انرژی دارای برآورد کمتر از مقدار واقعی باشد. به طور مثال در صورت استفاده از رابطه یاد شده در محاسبه تبخیر- تعرق واقعی، مقدار تبخیر- تعرق در سطوح خاکی روشن فاقد پوشش گیاهی در حدود ۱۵ درصد بیشتر از مقدار واقعی برآورد می‌گردد [۴۶].

۱-۴-۲- برآورد آلبیدو با اعمال تصحیحات جوی

روش حاضر توسط تاسومی^۱ و همکاران (۲۰۰۸) ارائه شد که روشی سریع و کاربردی در جهت اعمال تصحیحات جوّی است. در روش یاد شده پس از محاسبه بازتابندگی TOA تصحیحات جوّی برای هر باند به صورت مجزا و مختص همان طول موج اعمال می‌شود. سپس مناسب با شدت تابش ورودی خورشیدی^۲ به سطح زمین، بر اساس وزن دهی برای هر باند، مقدار آلبیدوی سطحی برآورد می‌گردد. از روش یاد شده می‌توان مقدار آلبیدو سطحی را در سنجنده‌هایی با قدرت تفکیک مکانی متوجه (همانند سنجنده OLI) و حتی پایین (همانند مناطق نزدیک به نادیر سنجنده

جدول ۳: مقادیر ESUN برآورد شده برای هر باند ماهواره لنست-۸ [۴۷]

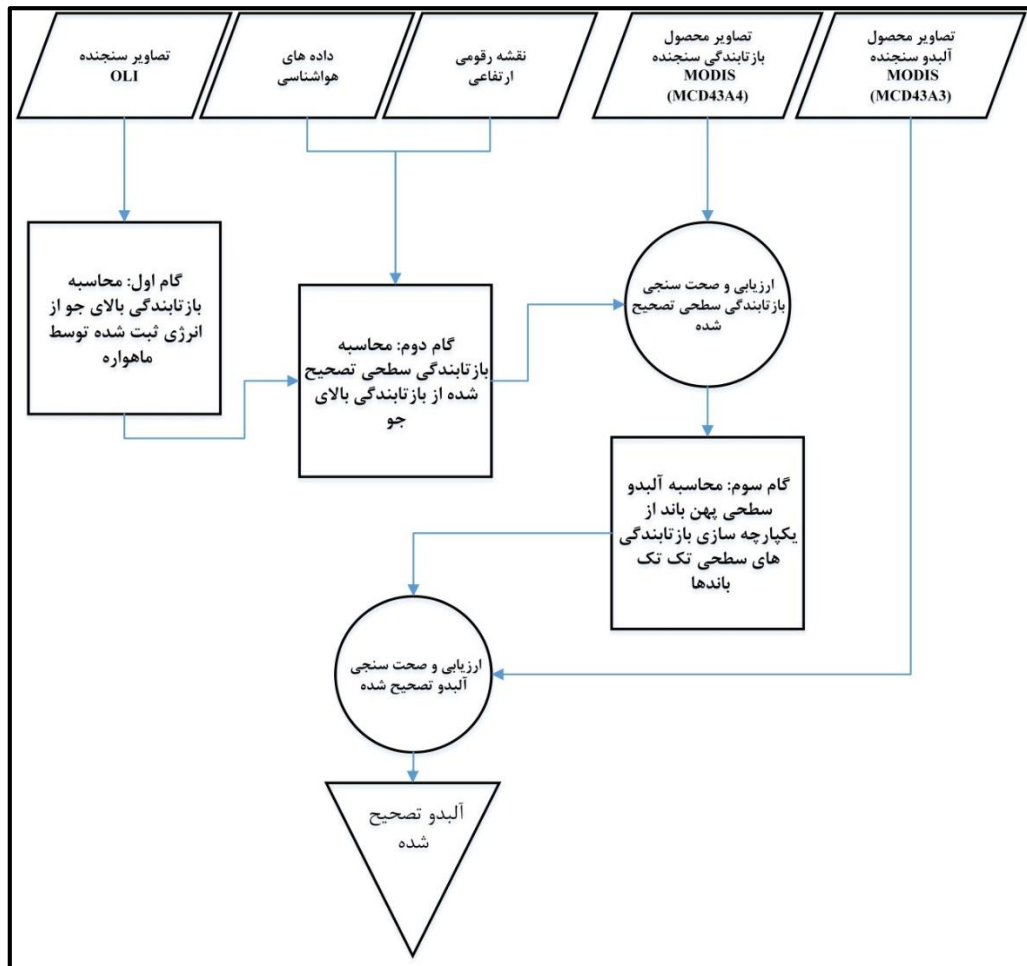
ESUN	محدوده باندی	شماره باند
۱۷۱۹	آتروسل	۱
۱۷۸۷	آبی	۲
۱۷۴۶	سبز	۳
۱۵۳۶	قرمز	۴
۹۹۷	مادون قرمز نزدیک	۵
۸۱۱	مادون قرمز موج کوتاه -۱	۶
۷۵	مادون قرمز موج کوتاه -۲	۷
۱۶۹۱	پانکروماتیک	۸

^۳ Mean solar exoatmospheric radiation over band b

^۴ Julian Day Number

^۱ Tasumi

^۲ Exoatmospheric Radiation



شکل ۲: مراحل برآورد آلبیدو تصحیح شده در تحقیق حاضر

کوتاه، مربوط به تابش خورشید ورودی و تابش منعکس شده از سطح در هر باند می‌باشد. $\rho_{a,b}$ بازتابندگی اتمسفر برای باندی مانند b از رابطه (۴) محاسبه می‌گردد.

$$\text{رابطه (۴)} \quad \rho_{a,b} = C_b \times (1 - \tau_{in,b})$$

ثابت C_b برای هر کدام از باندهای سنجنده OLI در جدول (۴) قابل مشاهده است.

۲-۴-۲- محاسبه بازتابندگی سطح تصحیح شده
تصحیحات جوی برروی بازتابندگی سطحی بالای جو، شامل حذف اثر سه عامل، پخش و جذب تابش ورودی خورشید و همچنین پخش بازتابندگی منعکس شده از سطح است. بنابراین بازتابندگی سطحی برای هر باند مانند "b" از رابطه (۵) محاسبه می‌شود.

$$\text{رابطه (۵)} \quad \rho_{s,b} = \frac{R_{out,s,b}}{R_{in,s,b}} = \frac{\rho_{t,b} - \rho_{a,b}}{\tau_{in,b} \cdot \tau_{out,b}}$$

که در آن $\rho_{s,b}$ بازتابندگی سطحی، $R_{out,s,b}$ و $R_{in,s,b}$ به ترتیب میانگین تابش سطحی ورودی و منعکس شده مربوط به هر باند است (برحسب وات بر مترمربع بر میکرومتر). همچنین $\tau_{in,b}$ و $\tau_{out,b}$ به ترتیب برابر است با اثر عبور با پهنهای کم باند در طول موج‌های

$$p_{\text{وا}} = 101.3 \left(\frac{293.0 - 0.0065Z}{293.0} \right)^{5.26} \quad \text{رابطه (8)}$$

در این رابطه Z میزان ارتفاع از سطح دریا و عدد ثابت ۲۹۳ دمای هوا بر حسب درجه کلوین در مناطق کشاورزی است. برای محاسبه این پارامتر هنگامی که به دقت بالاتر (استفاده از تصاویر سنجنده OLI) نیاز است، از با استفاده از پارامتر فشار بخار هوا (e_a)، از رابطه (۹) قابل برآورد است [۴۹].

$$W = 0.14 \times e_a \times p_{\text{وا}} + 2.1 \quad \text{رابطه (9)}$$

همچنین میزان شفافیت جوی مربوط به تابش طول موج کوتاه منعکس شده از سطح نیز از رابطه (۱۰) حاصل می شود.

$$\tau_{out,b} = C_1 \exp \left[\frac{C_2 p_{\text{وا}} - C_3 W - C_4}{\cos \theta} \right] + C_5 \quad \text{رابطه (10)}$$

در آن θ زاویه دید سنجنده نسبت به قائم بر حسب رادیان است که مقادیر آن بین صفر (کاملاً عمود بر سطح) تا نود (کاملاً افقی) متغیر می باشد. لازم به ذکر است که ثابت های $C_5 - C_1$ که در معادله (۳) و (۶) یکسان بوده و مقادیر آنها توسط تاسومی و همکاران (۲۰۰۸) برای ماهواره لنdest در جدول (۴) ارائه شده است.

همچنین پارامترها $\tau_{in,b}$ و $\tau_{out,b}$ معرف میرایی تابش به صورت مستقیم^۱ و پخشی^۲ است که از معادلات عبور جداگانه برای هر باند قابل محاسبه هستند. فرمت معادلات این دو متغیر شبیه به توابع عبور باریک باند (معادله عمومی) است که توسط ماجومدار^۳ و همکاران *FAO* توسعه داده شده است [۴۸]. این معادلات توسط *EWRI* برای محاسبه تبخیر- تعرق به صورت استاندارد ارائه شده است [۳۵، ۳۶].

در آخرین بروزرسانی، تاسومی و همکاران (۲۰۰۸) معادلات شفافیت جوی (رابطه (۷) و (۱۰)) را به شکل ذیل ارائه کردند. میزان شفافیت جوی مربوط به پهنهای کم باند برای تابش خورشید ورودی از رابطه (۷) بدست می آید.

$$\tau_{in,b} = C_1 \exp \left[\frac{C_2 p_{\text{وا}} - C_3 W - C_4}{\cos \theta} \right] + C_5 \quad \text{رابطه (7)}$$

که در آن $p_{\text{وا}}$ فشار هوا (کیلو پاسکال)، θ زاویه زنیتی خورشید (رادیان)، W آب قابل بارش جو (میلی متر)، C_1 تا C_5 ثابت بسته به هر باند متفاوت است. $p_{\text{وا}} / \cos \theta$ جانشین برای توده جوی و طول مسیر اپتیکی می باشد که پارامتر میزان فشار هوا (کیلو پاسکال)، از رابطه (۸) حاصل می شود.

جدول ۴: مقادیر واسنجی شده C_1 تا C_5 و همچنین مقدار C_b مربوط به ماهواره لنdest برای هر باند [۵]

باند ۷	باند ۶	باند ۵	باند ۴	باند ۳	باند ۲	باند ۱	پارامتر	سنجنده
-۰,۳۵۶	-۰,۲۳۴	-۰,۳۷۵	-۰,۹۵۱	-۰,۹۸۷	-	C_1	لنdest	
-۰,۰۰۰۹۷	-۰,۰۰۱۰۱	-۰,۰۰۰۴۸	-۰,۰۰۰۳۳	-۰,۰۰۰۱۶	-۰,۰۰۰۷۱	-		
-۰,۰۰۴۲۹۶	-۰,۰۰۴۳۳۶	-۰,۰۰۵۰۱۸	-۰,۰۰۰۲۸	-۰,۰۰۰۱۰۵	-۰,۰۰۰۰۳۶	-		
-۰,۰۱۵۵	-۰,۰۰۵۶۰	-۰,۱۳۵۵	-۰,۰۸۷۵	-۰,۰۴۳۷	-۰,۰۸۸۰	-		
-۰,۶۳۹	-۰,۷۷۷۵۷	-۰,۶۶۲۱	-۰,۱۰۱۴	-۱,۲۶۹۷	-۰,۰۷۸۹	-		
-۰,۱۸۶	-۰,۲۷۴	-۰,۱۸۹	-۰,۲۸۶	-۰,۳۱۰	-۰,۶۴۰	-		
								C_b

³ Majumdar¹ Beam² Diffuse

$$a_s = \sum_{b=1}^7 [\rho_{s,b} \cdot w_b] \quad (11)$$

در اینجا $\rho_{s,b}$ بازتابندگی سطحی و w_b ضریب وزنی می‌باشد که در جدول (۵) مقادیر آن برای هر باند (محدوده طیفی مشخص) از تصاویر سنجنده OLI قابل مشاهده می‌باشد. در نهایت می‌توان با استفاده از اطلاعات ارائه شده در جدول (۵) و رابطه (۱۱) میزان بازتابندگی سطحی را برآورد کرد.

جدول ۵: ضرایب وزنی کسر تابش سطحی خورشید مربوط به محدوده طیفی هر باند [۵]

جمع	میزان وزن مربوط به هر باند							نام سنجنده	نام ماهواره
	w_7	w_6	w_5	w_4	w_3	w_2	w_1		
۱/۰۰	۰/۰۱۰۸	۰/۱۱۶۷	۰/۱۴۳۴	۰/۲۲۰۹	۰/۲۵۱۲	۰/۲۵۷۰	-	OLI	لندست-۸

مقادیر درصد خطا در باندهای مختلف، بین مقادیر ۶/۵ (باند مادون قرمز نزدیک) الی ۱۴/۳ (باند آبی) متغیر است. همچنین نتایج نشان می‌دهد که میزان بازتابندگی به روش تصحیح جوی دارای خطای ناچیزی در حدود ۹/۵ درصد (به صورت میانگین) می‌باشد. لازم به ذکر است که میزان خطای تصحیح جوی در تحقیق‌های دیگر نیز بین ۵ تا ۷ درصد گزارش شده است [۳۸ و ۵۰]. بدیهی است با حذف منابع خطای شامل تغییر اندازه پیکسل و همچنین تفاوت طول محدوده باندی در این دو سنجنده، مقدار خطای بسیار کاهش می‌یابد. به طور کلی می‌توان نتیجه گرفت، روش تصحیح جوی اعمال شده بروی تصاویر دارای عملکرد مناسبی است. نتایج آلبیدو پهن باند، قبل و بعد از تصحیح جوی، در کاربری‌های اراضی مختلف به تفکیک (خاک‌های روش، بایر سیاه رنگ و کشاورزی) در شکل (۳) نشان داده شده است. همان‌طور که در این شکل مشخص است، میزان کاهش بازتابندگی در اراضی بایر با رنگ روش، به واسطه تصحیح جوی، بیشتر از سایر کاربری‌ها است. این موضوع در تحقیق تاسومی و همکاران (۲۰۰۵) نیز بیان شده است. آن‌ها نشان دادند به واسطه بیش برآورد این پارامتر در این کاربری (درصورت عدم اعمال

۳-۴-۲- محاسبه آلبیدو سطحی پهن‌باند از یکپارچه‌سازی بازتابش سطحی هر باند

در مرحله آخر برای محاسبه آلبیدو سطحی عریض باند از تمامی بازتابندگی‌های سطحی با پهن‌های کم‌باند مربوط به تک‌تک باندهای ماهواره‌های مختلف با توجه به تحقیق استارکس^۱ و همکاران (۱۹۹۱) از رابطه (۱۱) محاسبه می‌شود.

۳- بحث و نتایج

در ادامه، ابتدا میزان تغییرات بازتابندگی و سپس آلبیدو پهن‌باند، قبل و بعد از تصحیح جوی مورد ارزیابی قرار می‌گیرد. در ادامه نتایج مربوط به تاثیر حذف اثرات جوی در برآورد آلبیدو پهن‌باند با محصولات مادیس بررسی می‌شوند. علاوه بر این در هر مرحله سعی شده نتایج بدست آمده با سایر پژوهش‌ها نیز مقایسه شود. مقادیر پارامترهای آماری ضریب همبستگی، مجدور میانگین مربعات خطای و درصد خطا مربوط به بازتابندگی سطحی OLI در مقابل محصول MCD43A4 در ۲۵۰ نمونه انتخابی در محدوده باندهای مختلف قبل و بعد از تصحیح جوی در جدول (۶) قابل مشاهده است. همان‌گونه که از مقایسه ارقام این جدول قبل استنتاج است میانگین همبستگی بازتابندگی دارای مقادیر قابل قبولی هستند. میزان همبستگی در دو روش تغییر چندانی پیدا نکرده است زیرا این روش در روند تغییر خطای به صورت مکانی تفاوتی ایجاد نمی‌کند؛ بلکه مقادیر را به صورت پیکسل به پیکسل تصحیح می‌نماید. اما میزان خطای کاهشی حدوداً ۲۴/۶ برآورد شده است (جدول (۶)). این درحالی است که

¹ Starks

این پارامتر در آن دشوارتر از سایر کاربری‌ها است. به علاوه، میزان آلبیدو پهن باد قبل و بعد از تصحیحات جوی در کاربری‌های مختلف، نیز ارزیابی شد. همان‌طور که در شکل(۳) مشاهده می‌شود، نمودار فراوانی آلبیدو پهن باند در تمامی کاربری‌ها، قبل و بعد از تصحیح جوی دارای جابجایی به سمت چپ نمودار است. این امر، نشان می‌دهد که مقدار آلبیدو در کل کاربری‌ها با تصحیح اثر میرای و پخشش بازتابندگی، کاهش می‌یابد و با توجه به نوع کاربری به محدوده قابل اعتمادتری می‌رسد؛ که در تحقیقات دیگر نیز گزارش شده است و مقایسه نتایج با ارقام جدول(۷) ملموس‌تر خواهد بود. اما مقدار این کاهش در کاربری‌های مختلف متفاوت است؛ به طوری که بیشترین تغییر به لحاظ مقدار، قبل و بعد از تصحیح اتمسفر بر حسب نوع کاربری به ترتیب مربوط به اراضی با خاک روشن، مناطق کوهستانی تیره (دارای مواد آلی بیشتر نسبت به سایر اراضی) و مناطق کشاورزی است.

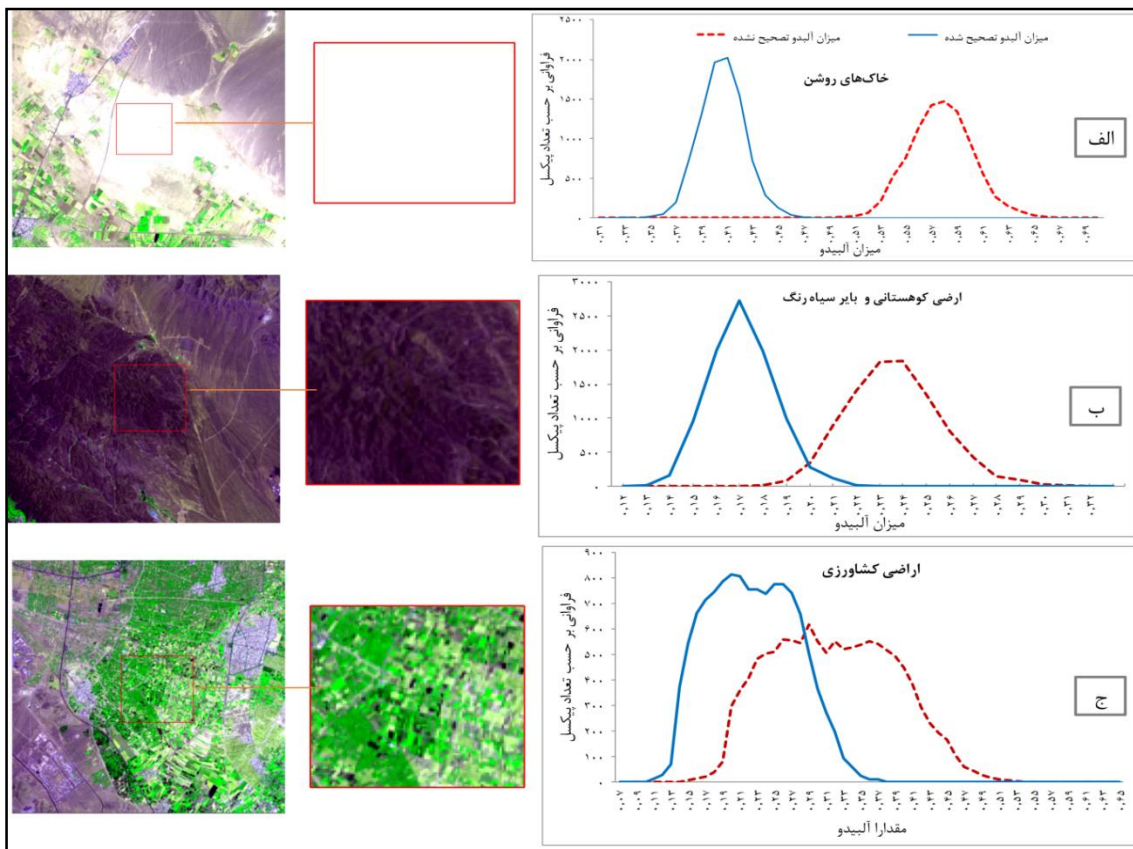
جدول ۶: مقادیر پارامترهای آماری ضربه همبستگی، مجدد میانگین مربعات خطأ و درصد خطأ مربوط به بازتابندگی سطحی در مقابل مخصوص MCD43A4 در ۲۵۰ نمونه انتخابی در محدوده باندهای مختلف قبل و بعد از تصحیح جوی OLI

درصد کاهش خطا <i>RMSE</i>	میزان پارامتر آماری بعد از انجام تصحیح جوی			میزان پارامتر آماری قبل از انجام تصحیح جوی			سنجدنده <i>OLI</i>	سنجدنده مادیس	محدوده باندی	شماره
	درصد خطا	<i>RMSE</i>	<i>R²</i>	درصد خطا	<i>RMSE</i>	<i>R²</i>				
۲۸/۲	۶/۵	۰/۰۰۷۸	۰/۹۷۱	۸/۳	۰/۰۰۹۹	۰/۹۵۸	۴	۱	قرمز	۱
۲۴/۴	۱۰/۲	۰/۰۰۸۹	۰/۹۷۵	۱۲/۷	۰/۰۱۱۱	۰/۹۶۲	۳	۴	سبز	۲
۲۰/۶	۱۴/۳	۰/۰۰۸۷	۰/۹۶۲	۱۷/۲	۰/۰۰۹۴	۰/۹۲۷	۲	۳	آبی	۳
۲۷/۷	۶/۴	۰/۰۱۵۲	۰/۹۵۳	۸/۱	۰/۰۱۹۵	۰/۹۳۵	۵	۲	مادون قرمز نzdیک	۴
۲۲/۱	۱۰/۱	۰/۰۱۷۶	۰/۹۷۴	۱۲/۲۳	۰/۰۲۱۵	۰/۹۴۹	۷	۷	مادون قرمز میانی	۵
۲۴/۶	۹/۵	۰/۰۱۱۵	۰/۹۷	۱۱/۷	۰/۰۱۴۳	۰/۹۴	میانگین			

تصحیحات جوی)، میزان تابش خالص دارای کم برآورد است که نتیجه این تاثیر، در برآورد پارامتر تبخیر-تعرق واقعی ایجاد خطای در حدود ۱۵٪ می‌نماید.

در کاربری‌های دیگر مانند کاربری‌های کشاورزی، اگرچه میزان آلبیدو دارای تغییر کمی می‌باشد، اما به این دلیل این که این اراضی، سهم ویژه به لحاظ مقدار و اهمیت، در برآورد تبخیر-تعرق واقعی از سطح حوضه آبریز دارند، برآورد دقیق این پارامتر در اراضی کشاورزی بسیار مهم است. از سوی دیگر برآورد این پارامتر در این کاربری دشوارتر نیز خواهد بود. همان‌طور که در شکل(۳) قسمت (ج) دیده می‌شود، نمودار فراوانی مربوط به کاربری کشاورزی برخلاف دو کاربری دیگر (شکل(۳) قسمت (الف) و (ب)) که دارای شکل زنگوله‌ای هستند، ذوزنقه است. به این معنی که در دو کاربری دیگر تعداد پیکسل‌های زیادی از هر کاربری دارای آلبیدو یکسانی هستند، اما در اراضی کشاورزی به دلیل کوچک بودن سطوح مزارع و تنوع کشت، طیف وسیعی از آلبیدو پهن باند به این کاربری تعلق دارد و برآورد

جدول ۶: مقادیر پارامترهای آماری ضربه همبستگی، مجدد میانگین مربعات خطأ و درصد خطأ مربوط به بازتابندگی سطحی



شکل ۳: نمودار فراوانی آلبیدو پهن باند با استفاده از روش‌های تصویح نشده (خط مقطع قرمز) و تصویح شده (خط ممتد آبی)، در کاربری‌های اراضی با خاک‌های روشن (الف)، زمین‌های بایر سیاه رنگ (ب) و کشاورزی (ج)؛ در هر مورد منطقه نمونه برداری شده با رنگ کاذب در سمت چپ مربوط به هر نمودار نشان داده شده است.

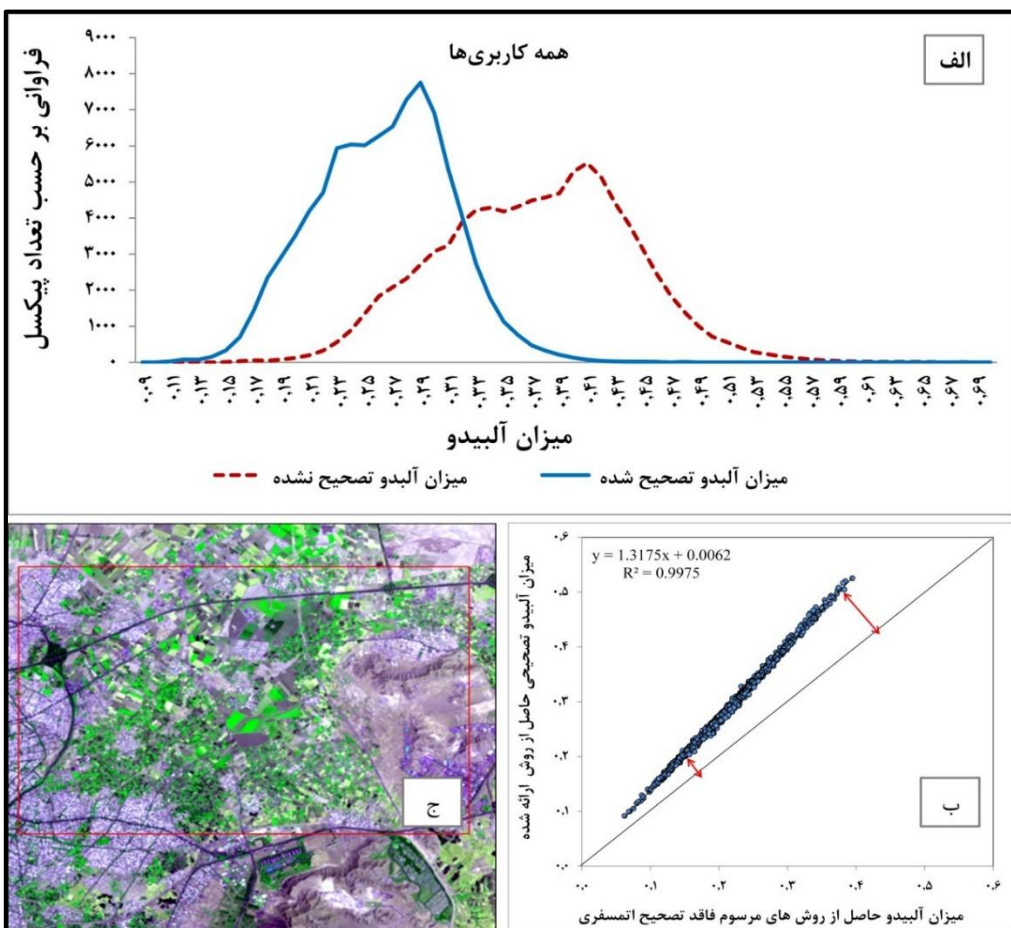
جدول ۷: میزان آلبیدو بر حسب نوع کاربری ارائه شده در تحقیقات مختلف [۵۱]

Brest and Goward (1987)	Wilson and HendersonSellers (1985)	Matthews (1983)	SARB ¹	نوع کاربری
۰,۲۹ - ۰,۴۳	۰,۱۴ - ۰,۱۳	۰,۱۸ - ۰,۱۱	۰,۱۷ - ۰,۱۲	جنگل
-	۰,۱۷ - ۰,۱۶	۰,۲۹ - ۰,۱۶	۰,۲۳ - ۰,۲۲	بوتزار
-	۰,۲۰ - ۰,۱۹	۰,۱۸ - ۰,۲۰	۰,۱۸	علفزار / ساوانا
-	a	۰,۳۰	۰,۳۶	کویر
۰,۴۶ - ۰,۱۷	**۰,۲۰	۰,۱۸	*۰,۱۵	کشاورزی
۶۰ متر	ادرجه	ادرجه	۱ درجه	مقیاس مکانی
وابسته به نوع خاک - حداقل ۰,۳۵				
* برای مرتع مقدار ۰,۱۶ برآورد شده است.				
** برای اراضی محصولات تحت آبیاری با کشت برنج، شکر، ذرت، پنبه مقدار ۰,۱۲ - ۰,۲۵ گزارش شده است.				توضیحات

¹ Surface and Atmospheric Radiation Budget

هستند در شکل (۴) نشان داده شده است.

برآیند نمودار فراوانی در محدوده‌ای که دارای کلیه کاربری‌ها شامل اراضی کشاورزی، آیش، شهری و بایر



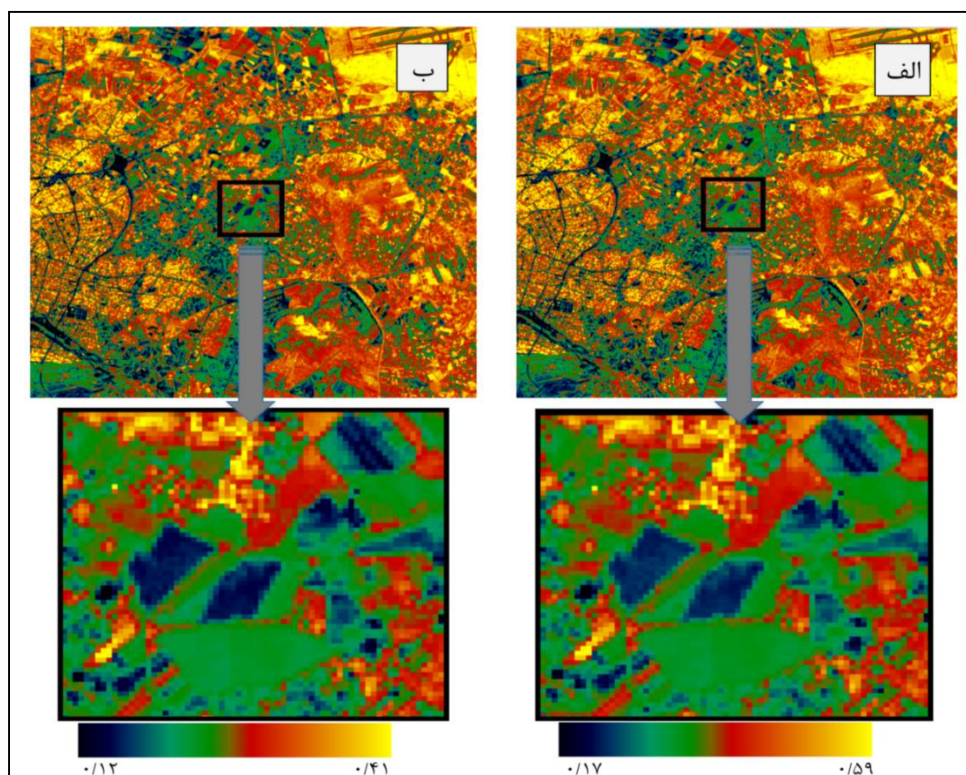
شکل ۴: (الف) نمودار فراوانی و نمودار همبستگی (ب) مقادیر آلبیدو قبل و بعد از تصحیح در کل کاربری‌ها (ج) در روز شماره روز ژولیوسی ۲۰۴

تصحیح نشده در کاربری‌های مختلف، دارای همبستگی بسیار بالایی هستند اما در داده‌ها اریبی وجود دارد. مقدار این اریبی در کاربری‌های بایر و کشاورزی به ترتیب بیشترین و کمترین مقدار را دارد. این امر با مقایسه تصاویر آلبیدو قبل و بعد از تصحیح جوی در سطح منطقه مورد مطالعه در شکل (۵) نیز قابل مقایسه است. همان‌طور که در این شکل دیده می‌شود مقادیر این دو روش به لحاظ موقع و روند بسیار مشابه هستند. اما ارزیابی مقادیر این متغیر، دارای اختلاف زیاد است. به طور مثال، در مناطق کشاورزی (نقاط آبی رنگ) آلبیدو دارای کمترین مقدار است. این پارامتر با استفاده

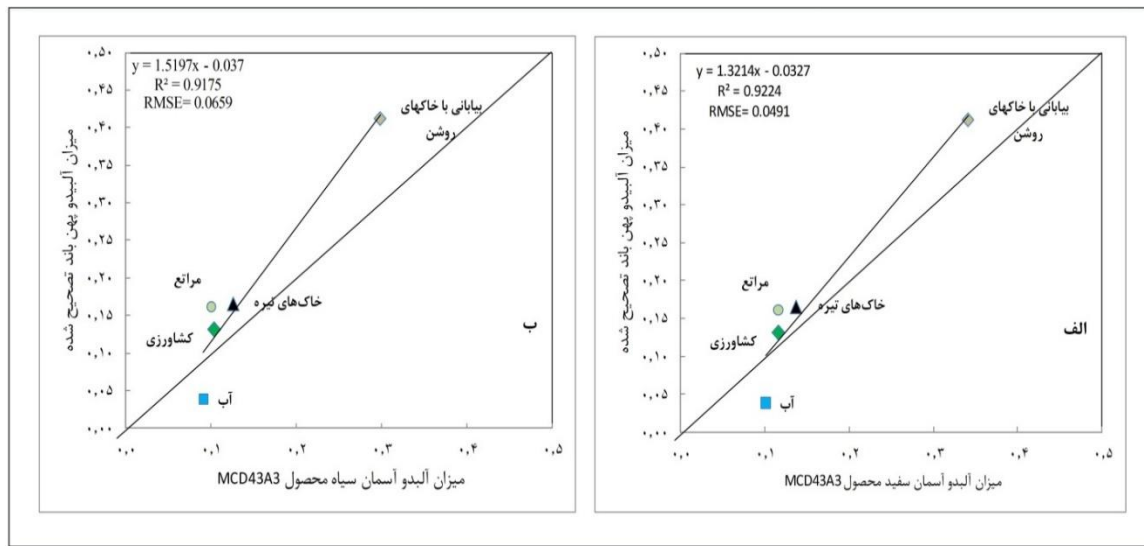
مطابق با این نمودار، مقادیر آلبیدو پهن‌باند برآورد شده از تمام کاربری‌ها با استفاده از روش تصحیح شده نسبت به قبل کاهش یافته و در نتیجه نمودار به طرف مقادیر کمتر انتقال پیداکرده است. اما با توجه به اینکه سهم بیشتری از اراضی انتخاب شده به کاربری کشاورزی (که دارای مقادیر مختلف آلبیدو است) اختصاص داده شده است؛ در نتیجه روش تصحیح شده، در قیاس با روش دیگر دارای واریانس نسبتاً کمی نسبت به میانگین است. براین اساس نمودار فراوانی بعد از تصحیح، کشیده‌تر شده است. در قسمت (ب) این شکل مشاهده می‌شود که مقادیر همبستگی مقادیر آلبیدو تصحیح جوی و

با میانگین‌گیری میزان آلبیدو در ۲۵۰ نقطه مشاهداتی در کاربری‌های مختلف مربوط به زمان و منطقه مورد مطالعه، میزان همبستگی و خطای را با استفاده از *MCD43A3* روش تصحیح جوی در مقایسه با محصول در شرایط مفروض آسمان سفید و سیاه محاسبه شد(شکل^(۶)). همان‌طور که از این شکل می‌توان استنباط نمود، مقدار اریبی آلبیدو با اعمال تصحیح جوی، کاهش می‌یابد. مقایسه مقادیر برآورده در کاربری‌های مختلف، با محصول *MCD43A3* در شرایط مفروض آسمان سفید از هم‌خوانی بیشتری برخوردار است. میزان میانگین مربعات خطای آلبیدو برآورده و محصول مادیس در شرایط مفروض آسمان سفید و سیاه به ترتیب برابر ۰/۰۴۹ و ۰/۰۶۶ هستند.

از روش تصحیح جوی ۰/۱۲ و روش قادر تصحیح جوی ۰/۱۷ برآورده شد. همچنین بیشترین میزان آلبیدو مربوط به زمین‌های بایر (نقاط زرد رنگ) می‌باشد که مقادیر آن با استفاده از روش تصحیح جوی و قادر آن در منطقه مطالعاتی به ترتیب ۰/۴۱ و ۰/۵۹ تخمین زده شد که این مقادیر از مقدار نرمال بالاتر است (جدول^(۷)، اما با تصحیح جوی این اریبی کاهش می‌یابد. برای ارزیابی این مطلب ۲۵۰ نمونه از ۵ کاربری اصلی (شامل، بیابان‌ها با خاک‌های روشن، مناطق با خاک تیره، مراعت، اراضی کشاورزی و آب) در منطقه مطالعاتی برداشت و با مقادیر محصول *MCD43A3* مقایسه شد که نتایج آن در شکل‌های^(۳) و^(۴) نمایش داده شده است.



شکل ۵: میزان آلبیدو محاسباتی با استفاده از سنجنده *OLI* و روش‌های ساده قادر تصحیح جوی (الف) و تصحیح شده به روش تاسومی (ب) می‌باشند



شکل ۶: میزان همبستگی و خطای حاصل از آلبیدو تصحیح شده و محصول $MCD43A3$ در شرایط مفروض (الف) آسمان سفید و
ب) آسمان سیاه مربوط به میانگین ۲۵۰ نقطه مشاهداتی در کاربری‌های مختلف

مختلف به خوبی مشخص‌تر از محصول $BRDF$ است. در ادامه مقادیر آلبیدو پهنه‌باند حاصل از دو روش ارائه شده در کاربری‌های مختلف نیز ارزیابی شد. نتایج این ارزیابی نشان داد که روش معمول برآورد آلبیدو نسبت به روش تصحیح جوی ارائه شده، دارای بیش برآورد است؛ به طوری که در حوزه آبریز زاینده‌رود با اعمال تصحیح جوی، میزان آلبیدو در نقاط حدی حدوداً بین $0.05 - 0.18$ کاهش یافته و به مقدار قابل اعتمادتری از دیدگاه سایر مطالعات انجام شده رسید. مقایسه مقادیر برآورد شده در کاربری‌های مختلف با این محصول در شرایط مفروض آسمان سفید از همخوانی بیشتری برخوردار بود. میزان میانگین مربعات خطای آلبیدو برآورد شده و محصول مادیس در شرایط مفروض آسمان سفید و سیاه به ترتیب برابر 0.049 و 0.066 هستند.

ارزیابی آلبیدو در کاربری‌های مختلف نشان می‌دهد که بیشترین تغییر قبل و بعد از تصحیح جوی، به ترتیب مربوط به اراضی بایر با خاک روشن، مناطق کوهستانی تیره و مناطق کشاورزی است. اگرچه در پوشش‌های گیاهی میزان آلبیدو دارای کمترین تغییر می‌باشد، اما بهدلیل اینکه اراضی کشاورزی سهم ویژه به لحاظ مقدار و اهمیت، در برآورد تبخیر تعرق واقعی از سطح حوضه

۴- نتیجه‌گیری

هدف از تحقیق حاضر حذف اثر جو و به دست آوردن آلبیدو با قدرت مکانی بالا (۳۰ متر) بوده است. در این راستا با بررسی مراجع، روشی کاربردی جهت برآورد آلبیدو با اجرای تصحیح جوی استخراج شد. در این روش پس از حذف اثرات عبور با پهنه‌ای کم‌باند در محدوده طول موج کوتاه برای تابش خورشید ورودی و منعکس شده از سطح، میزان بازنگردی سطحی پدیده‌ها و مقدار آلبیدو پهنه‌باند با قدرت تفکیک مکانی ۳۰ متر حاصل می‌شود.

به منظور ارزیابی نتایج، در مرحله اول مقادیر بازنگردی $BRDF$ تصویر سنجنده OLI و محصول $MACD43A4$ ارزیابی شدند که نتایج نشان دهنده همبستگی بالا (بین 0.95 تا 0.97) این دو مقدار و اندازی خطای $(dr / drsc)$ بوده است. در مرحله دوم صحّت نقشه‌های آلبیدو پهنه‌باند $MCD43A3$ تصحیح شده با مقادیر آلبیدو محصول سنجنده مادیس مدنظر قرار گرفت؛ که نتایج حاکی از دقت قابل قبول عددی و مکانی آلبیدو تصحیح شده برآورده، داشت. با توجه به قدرت تفکیک مناسب ماهواره لندهای ۸ مقدار این پارامتر در پدیده‌های

روزهای صاف و منطقه گرم و خشک (مانند حوضه آبریز زاینده رود) که اثر اتمسفر بر بازتابندگی تأثیر کمتری دارد، نیز صادق است. لذا، استفاده از روش تصحیح جوی ارائه شده در تحقیق حاضر جهت برآورد مقدار آلبیدو بهخصوص در مواردی که این متغیر به صورت خودکار و در مناطق وسیع با ویژگی آب و هوایی متفاوت، برآورد می‌گردد؛ پیشنهاد می‌شود.

آبریز دارند؛ در نتیجه برآورد دقیق این پارامتر در اراضی کشاورزی، بسیار مهم‌تر از سایر کاربری‌ها است. در تحقیق حاضر میزان آلبیدو تصحیح شده در محدوده کشاورزی متغیر و بین ۰/۱۲ الی ۰/۲۹ برآورد شد. به طور کلی با توجه به مشاهدات دقت و صحت، محاسبه مقادیر آلبیدو قبل و بعد از تصحیح جوی در کاربری‌های مختلف، باعث بهبود نتایج می‌شود. این مسئله حتی در

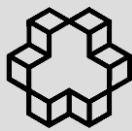
مراجع

- [1] Y. Kaufman, D. Tanré, H. Gordon, T. Nakajima, J. Lenoble, R. Frouin, et al., "Passive remote sensing of tropospheric aerosol and atmospheric correction for the aerosol effect," *Journal of Geophysical Research: Atmospheres*, vol. 102, pp. 16815-16830, 1997.
- [2] B.-C. Gao, M. J. Montes, Z. Ahmad, and C. O. Davis, "Atmospheric correction algorithm for hyperspectral remote sensing of ocean color from space," *Applied Optics*, vol. 39, pp. 887-896, 2000.
- [3] W. Gong, F. Meyer, P. W. Webley, D. Morton, and S. Liu, "Performance analysis of atmospheric correction in InSAR data based on the Weather Research and Forecasting Model (WRF)," in *Geoscience and Remote Sensing Symposium (IGARSS), 2010 IEEE International*, 2010, pp. 2900-2903.
- [4] Y. Cai, "The retrieval and analysis of sea surface suspended sediment movement based on multi-source remote sensing data," in *Image and Signal Processing (CISP), 2011 4th International Congress on*, 2011, pp. 1699-1702.
- [5] M. Tasumi, R. G. Allen, and R. Trezza, "At-surface reflectance and albedo from satellite for operational calculation of land surface energy balance," *Journal of hydrologic engineering*, vol. 13, pp. 51-63, 2008.
- [6] J. Fischer and R. Bennartz, "Retrieval of total water vapour content from MERIS measurements," *ESA reference number PO-*
- [7] Y. Bao and S. Lü, "Improvement of surface albedo parameterization within a regional climate model (RegCM3)," *Hydrology and Earth System Sciences Discussions*, vol. 6, pp. 165.2009 ,1676-1
- [8] N. Rochdi, R. Fernandes, and M. Chelle, "An assessment of needles clumping within shoots when modeling radiative transfer within homogeneous canopies," *Remote Sensing of Environment*, vol. 102, pp. 116-134, 2006.
- [9] Y. Bao, S. Lü, Y. Zhang, X. Meng, and S. Yang, "Improvement of surface albedo simulations over arid regions," *Advances in Atmospheric Sciences*, vol. 25, p. 481, 2008.
- [10] K. Staenz, J. Secker, B.-C. Gao, C. Davis, and C. Nadeau, "Radiative transfer codes applied to hyperspectral data for the retrieval of surface reflectance," *ISPRS Journal of Photogrammetry and Remote Sensing*, vol. 57, pp. 194-203, 2002.
- [11] A. Berk, G. P. Anderson, L. S. Bernstein, P. K. Acharya, H. Dothe, M. W. Matthew, et al., "MODTRAN4 radiative transfer modeling for atmospheric correction," in *SPIE's International Symposium on Optical Science, Engineering, and Instrumentation*, 1999, pp. 348-353.
- [12] E. F. Vermote, D. Tanré, J. L. Deuze, M. Herman, and J.-J. Morcette, "Second simulation of the satellite signal in the solar spectrum, 6S: An overview," *IEEE*

- transactions on geoscience and remote sensing*, vol. 35, pp. 675-686, 1997.
- [13] W. Zhao, M. Tamura, and H. Takahashi, "Atmospheric and spectral corrections for estimating surface albedo from satellite data using 6S code," *Remote sensing of Environment*, vol. 76, pp. 202-212, 2001.
- [14] W. J. Kramber, "Developing evapotranspiration data for Idaho's Treasure Valley using surface energy balance algorithm for land (SEBAL)," *Idaho Department of Water Resources*, Boise, Idaho, 2002.
- [15] R. G. Allen, M. Tasumi, A. Morse, and R. Trezza, "A Landsat-based energy balance and evapotranspiration model in Western US water rights regulation and planning," *Irrigation and Drainage Systems*, vol. 19, pp. 251-268, 2005.
- [16] S. Liang, "Narrowband to broadband conversions of land surface albedo I: Algorithms," *Remote Sensing of Environment*, vol. 76, pp. 213-238, 2001.
- [17] M. S. Moran, R. Bryant, K. Thome, W. Ni, Y. Nouvellon, M. Gonzalez-Dugo, et al., "A refined empirical line approach for reflectance factor retrieval from Landsat-5 TM and Landsat-7 ETM+," *Remote Sensing of Environment*, vol. 78, pp. 71-82, 2001.
- [18] S. Liang, C. J. Shuey, A. L. Russ, H. Fang, M. Chen, C. L. Walthall, et al., "Narrowband to broadband conversions of land surface albedo: II. Validation," *Remote Sensing of Environment*, vol. 84, pp. 25-41, 2003.
- [19] P. S. Chavez, "An improved dark-object subtraction technique for atmospheric scattering correction of multispectral data," *Remote sensing of environment*, vol. 24, pp. 459-479, 1988.
- [20] P. Teillet and G. Fedosejevs, "On the dark target approach to atmospheric correction of remotely sensed data," *Canadian Journal of Remote Sensing*, vol. 21, pp. 374-387, 1995.
- [21] H. Ding, J. Shi, Y. Wang, and L. Wei, "An improved dark-object subtraction technique for atmospheric correction of Landsat 8," in *Ninth International Symposium on Multispectral Image Processing and Pattern Recognition (MIPPR2015)*, 2015, pp. 98150K-98150K-8.
- [22] P. S. Chavez, "Image-based atmospheric corrections-revisited and improved," *Photogrammetric engineering and remote sensing*, vol. 62, pp. 1025-1035, 1996.
- [23] G. M. Smith and E. J. Milton, "The use of the empirical line method to calibrate remotely sensed data to reflectance," *International Journal of remote sensing*, vol. 20, pp. 2653-2662, 1999.
- [24] E. Ben-Dor, B. Kindel, and A. Goetz, "Quality assessment of several methods to recover surface reflectance using synthetic imaging spectroscopy data," *Remote Sensing of Environment*, vol. 90, pp. 389-404, 2004.
- [25] C. Justice, J. Townshend, E. Vermote, E. Masuoka, R. Wolfe, N. Saleous, et al., "An overview of MODIS Land data processing and product status," *Remote Sensing of Environment*, vol. 83, pp. 3-15, 2002.
- [26] E. F. Vermote, N. Z. El Saleous, and C. O. Justice, "Atmospheric correction of MODIS data in the visible to middle infrared: first results," *Remote Sensing of Environment*, vol. 83, pp. 97-111, 2002.
- [27] J. G. Masek, E. F. Vermote, N. E. Saleous, R. Wolfe, F. G. Hall, K. F. Huemmrich, et al., "A Landsat surface reflectance dataset for North America, 1990-2000," *IEEE Geoscience and Remote Sensing Letters*, vol. 3, pp. 68-72, 2006.
- [28] J. Ju, D. P. Roy, E. Vermote, J. Masek, and V. Kovalskyy, "Continental-scale validation of MODIS-based and LEDAPS Landsat ETM+ atmospheric correction methods," *Remote Sensing of Environment*, vol. 122, pp. 175-184, 2012.
- [29] J. Ju and D. P. Roy, "The availability of cloud-free Landsat ETM+ data over the

- conterminous United States and globally,"* *Remote Sensing of Environment*, vol. 112, pp. 1196-1211, 2008.
- [30] G. Agrawal, J. Sarup, and M. Bhopal, "Comparision of QUAC and FLAASH atmospheric correction modules on EO-1 Hyperion data of Sanchi," *Int. J. Adv. Eng. Sci. Technol.*, vol. 4, pp. 178-1.2011 ,86
- [31] V. Saini, R. Tiwari, and R. Gupta, "Comparison of FLAASH and QUAC atmospheric correction methods for Resourcesat-2 LISS-IV data," in *Earth Observing Missions and Sensors: Development, Implementation, and Characterization IV*, 2016, p. 98811V.
- [32] A. Sepehry, "Assessing the atmospheric correction model of Lavreau on Landsat TM imagery," *Desert Journal*, vol. 8, p. 206_219, 2003.
- [33] B. Bahrambeyg, H. Ranjbar, J. Shahabpour, and S. H. Moeinzadeh, "Study of the Scene Based Atmospheric Correction on Hyperion Images –a Case Study for Recognition of Argillitic Alteration Zone in the Masahim Volcanic Crater," *Geological Survey of Iran*, vol. 24, pp. 81-92, 2015.
- [34] D. P. Roy, M. Wulder, T. R. Loveland, C. Woodcock, R. Allen, M. Anderson, et al., "Landsat-8: Science and product vision for terrestrial global change research," *Remote sensing of Environment*, vol. 145, pp. 154-172, 2014.
- [35] R. G. Allen, L. S. Pereira, D. Raes, and M. Smith, "Crop evapotranspiration- Guidelines for computing crop water requirements-FAO Irrigation and drainage paper 56," FAO, Rome, vol. 300, p. 6541, 1998.
- [36] S. Irmak, T. Howell, R. Allen, J. Payero, and D. Martin, "Standardized ASCE Penman-Monteith: Impact of sum-of-hourly vs. 24-hour timestep computations at reference weather station sites," *TRANSACTIONS-AMERICAN SOCIETY OF AGRICULTURAL ENGINEERS*, vol. 48, p. 1063, 2005.
- [37] S.-C. Tsay, G. Wen, R. Cahalan, and L. Oreopoulos, "Path Radiance Technique for Retrieving Aerosol Optical Thickness Over Land," 1999.
- [38] E. Vermote, C. Justice, M. Claverie, and B. Franch, "Preliminary analysis of the performance of the Landsat 8/OLI land surface reflectance product," *Remote Sensing of Environment*, vol. 185, pp. 46-56, 2016.
- [39] D. Roy, H. Zhang, J. Ju, J. Gomez-Dans, P. Lewis, C. Schaaf, et al., "A general method to normalize Landsat reflectance data to nadir BRDF adjusted reflectance," *Remote Sensing of Environment*, vol. 176, pp. 255-271, 2016.
- [40] Y.-m. Ma, M. Menenti, O. Tsukamoto, H. Ishikawa, J.-m. Wang, and Q.-z. Gao, "Remote sensing parameterization of regional land surface heat fluxes over arid area in northwestern China," *Journal of arid environments*, vol. 57, pp. 257-273, 2004.
- [41] W. Bastiaanssen, M. Menenti, R. Feddes, and A. Holtslag, "A remote sensing surface energy balance algorithm for land (SEBAL). 1. Formulation," *Journal of Hydrology*, vol. 212, pp. 198-212, 1998.
- [42] W. Bastiaanssen, H. Pelgrum, J. Wang, Y. Ma, J. Moreno, G. Roerink, et al., "A remote sensing surface energy balance algorithm for land) SEBAL).: Part 2: Validation," *Journal of Hydrology*, vol. 212, pp. 213-229, 1998.
- [43] R. Allen, M. Tasumi, R. Trezza, R. Waters, and W. Bastiaanssen, "SEBAL: Surface Energy Balance Algorithms for Land, Idaho implementation," Idaho: Waters Consulting: University of Idaho: WaterWatch, Inc, 2002.
- [44] S. Zahira, H. Abderrahmane, K. Mederbal, and D. Frederic, "Mapping Latent Heat Flux in the Western Forest Covered Regions of Algeria Using Remote Sensing Data and a Spatialized Model," *Remote Sensing*, vol. 1, pp. 795-817, 2009.

- [45] X. Zhou, S. Bi, Y. Yang, F. Tian, and D. Ren, "Comparison of ET estimations by the three-temperature model, SEBAL model and eddy covariance observations," *Journal of Hydrology*, 2014.
- [46] M. Tasumi, R. Trezza, R. G. Allen, and J. L. Wright, "Operational aspects of satellite-based energy balance models for irrigated crops in the semi-arid US," *Irrigation and Drainage Systems*, vol. 19, pp. 355-376, 2005.
- [47] B. Markham and J. Barker, "Thematic Mapper bandpass solar exoatmospheric irradiances," *International Journal of remote sensing*, vol. 8, pp. 517-523, 1987.
- [48] N. Majumdar, B. Mathur, and S. Kaushik, "Prediction of direct solar radiation for low atmospheric turbidity," *Solar Energy*, vol. 13, pp. 383-394, 1972.
- [49] J. D. Garrison and G. P. Adler, "Estimation of precipitable water over the United States for application to the division of solar radiation into its direct and diffuse components," *Solar Energy*, vol. 44, pp. 225-241, 1990.
- [50] F.-M. Bréon and E. Vermote, "Correction of MODIS surface reflectance time series for BRDF effects," *Remote Sensing of Environment*, vol. 125, pp. 1-9, 2012.
- [51] G. Myhre and A. Myhre, "Uncertainties in radiative forcing due to surface albedo changes caused by land-use changes," *Journal of Climate*, vol. 16, pp. 1511-1524, 2003.



Evaluation of Operational Atmospheric Correction effects on Surface Reflectance and Albedo using Landsat-OLI images

Morteza Rahimpour^{1}, Nemat Ollah Karimi², Maedeh Behifar³, Sara Sheshangousht¹*

1- Research Assisstan in Water Research Institute of Ministry of Energy, Iran

2- Assistant professor Water Research Institute of Ministry of Energy, Iran

3- PhD student of remote sensing in Department of Remote Sensing and GIS, Shahid Beheshti University

Abstract

Surface albedo is one of the most effective practical remote sensing data being used directly or indirectly in different studies. In this study, various methods of atmospheric correction were investigated to pick up an accurate and precise method for estimating the surface albedo with atmospheric correction approach. Needless to say that information of humidity and digital elevation model are fundamental inputs in selected method which are being used automatically for every studying area. Then after running the model, results evaluated in two steps. At the first step, corrected atmospheric reflectance of OLI images was compared with MODIS BRDF product (MACD43A4). The results had a high correlation (between 0.95 and 0.97), and a smaller error (about 5.9%) and is reduced absolute error rate in all bands about 24.6%. In the second step, the broad band albedo was evaluated. Initially, the broadband albedo was compared to MODIS product (MCD43A3) in white and black sky conditions, with the lowest mean square error 0.049 (WSA) and 0.666 (BSA), successively. Moreover, this factor (broad band albedo) was assessed in different land uses, in which the maximum rate of broad band albedo changes before and after atmosphere correction relates to bright soil, dark mountainous and agricultural areas, respectively. The rate of albedo change in all land uses were decreased approximately between 0.05 and 0.18. Finally, it is suggested that, atmospheric correction is necessary in the surface- albedo estimation, mainly, it is essential in both automatic run and large areas with different climate characteristics.

Key words : Surface Albedo, Atmospheric Correction, OLI Imagery, MODIS product

Correspondence Address: Bol. Shahid Beheshti, Research Institute of Ministry of Energy, Tehran, Iran.
Tel: : +98 21_77000305.
Email : Rahimpour@modares.ac.ir